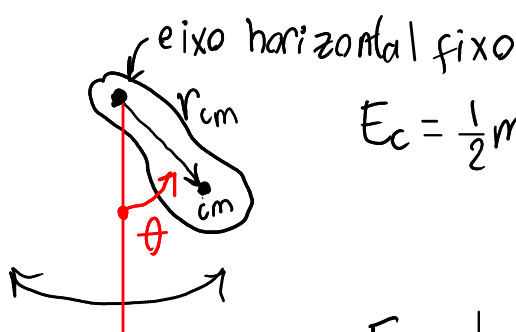


PÊNDULO FÍSICO



$$E_c = \frac{1}{2}m(r_{cm}\dot{\theta})^2 + \frac{1}{2}I_{cm}\dot{\theta}^2 = \underbrace{\frac{1}{2}(mr_{cm}^2 + I_{cm})\dot{\theta}^2}_{I_{eixo} = m r_g^2}$$

$$E_c = \frac{1}{2}mr_g^2\dot{\theta}^2$$

$$U_g = -mg r_{cm} \cos \theta$$

Desprezando a resistência do ar e o atrito no eixo:

$$mr_g^2\ddot{\theta} + mg r_{cm} \sin \theta = 0 \Rightarrow \ddot{\theta} = -\frac{g r_{cm}}{r_g^2} \sin \theta$$

$$\ell = \frac{r_g^2}{r_{cm}} \Rightarrow$$

$$\ddot{\theta} = -\frac{g}{\ell} \sin \theta$$

eq. de movimento
dum pêndulo simples
de comprimento ℓ

equação diferencial não linear

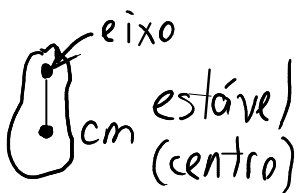
$$\begin{cases} \dot{\theta} = \omega \\ \dot{\omega} = -\frac{g}{\ell} \sin \theta \end{cases}$$

$$J(\theta, \omega) = \begin{bmatrix} 0 & 1 \\ -\frac{g}{\ell} \sin \theta & 0 \end{bmatrix}$$

pontos de equilíbrio: $\omega = 0, 1, \sin \theta = 0$

$$\textcircled{1} \quad \theta = 0, \pm 2\pi, \pm 4\pi, \dots \Rightarrow A = \begin{bmatrix} 0 & 1 \\ -\frac{g}{\ell} & 0 \end{bmatrix} \begin{array}{l} (\approx \text{oscilador}) \\ (\text{harmônico}) \end{array}$$

\Rightarrow Oscilações harmónicas com frequência angular $\omega = \sqrt{\frac{g}{\ell}}$
(realmente é um ponto)

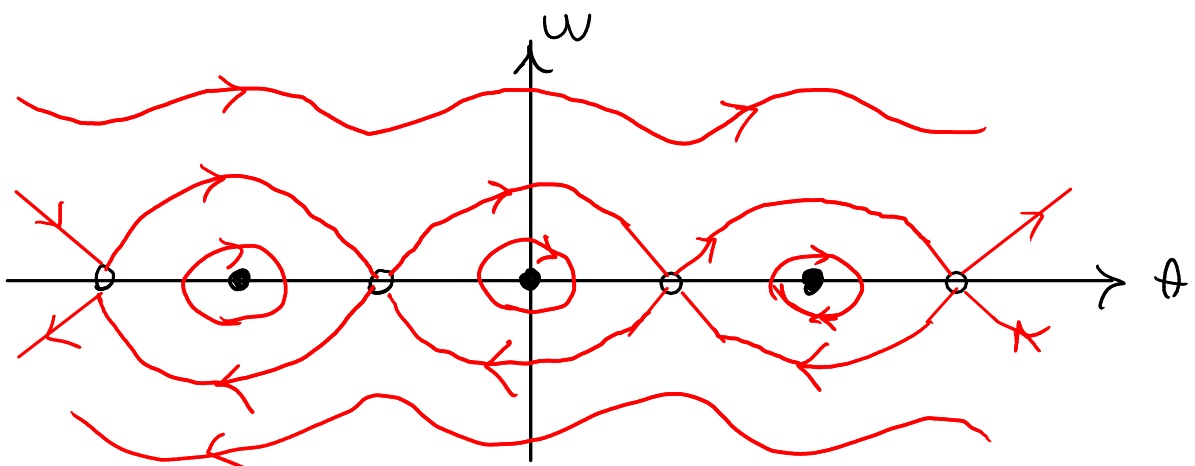


$$\textcircled{2} \quad \theta = \pm \pi, \pm 3\pi, \pm 5\pi, \dots \Rightarrow \sin \theta = 0, \cos \theta = -1$$

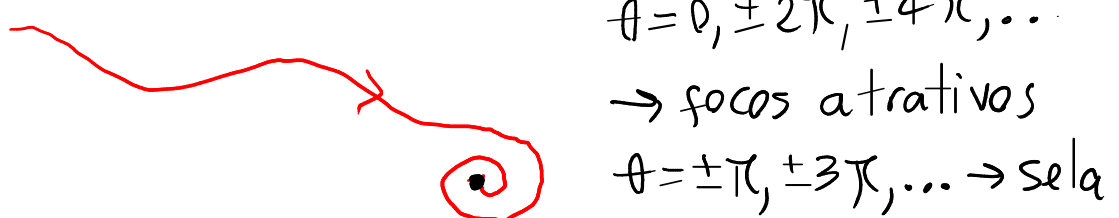
$$A = \begin{bmatrix} 0 & 1 \\ +\frac{g}{l} & 0 \end{bmatrix} \quad \det A = -\frac{g}{l} < 0 \Rightarrow \text{pontos de sela (oscilador invertido)} \quad \begin{array}{c} \text{cm} \\ \text{eixo} \end{array}$$

instável

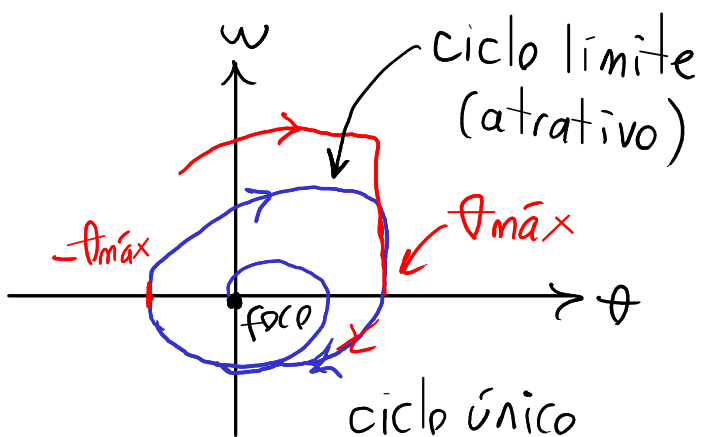
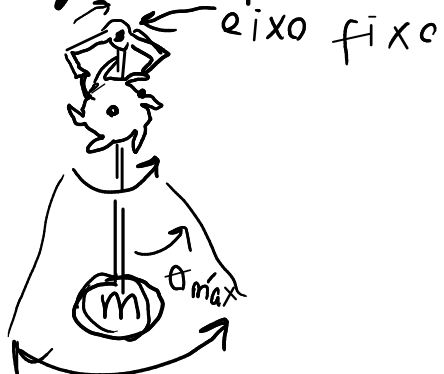
Retrato de fase



Com resistência do ar e atrito no eixo



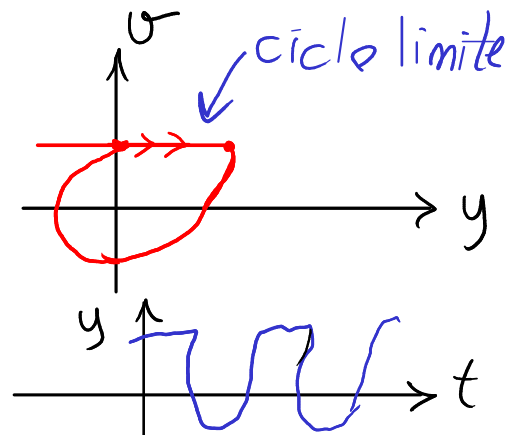
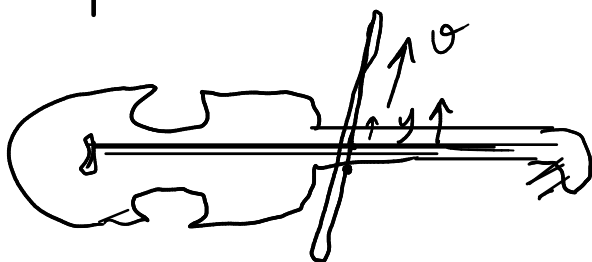
Relógio de pêndulo



CICLOS LIMITE

Dentro de cada ciclo limite existe um ponto de equilíbrio, atrativo ou repulsivo.

Exemplos: Violino



Equação de Van der Pol.

$$\ddot{x} + 2\epsilon(x^2 - 1)\dot{x} + x = 0 \quad (\epsilon \text{ parâmetro positivo})$$

$$\begin{cases} \dot{x} = y & \text{não conserv.} \\ \dot{y} = 2\epsilon(1-x^2)y - x & \text{oscil. harmônico} \end{cases}$$

$2\epsilon(1-x^2)$

$\begin{cases} |x| > 1 \rightarrow \text{dissipação de energia} \\ |x| < 1 \rightarrow \text{aumento da energia} \end{cases}$

Um único ponto de equilíbrio: $x=0, y=0$.
espera-se que exista um ciclo limite com $|x| \approx 1$

$$J(x, y) = \begin{bmatrix} 0 & 1 \\ -4\epsilon xy - 1 & 2\epsilon(1-x^2) \end{bmatrix} \rightarrow A = \begin{bmatrix} 0 & 1 \\ -1 & 2\epsilon \end{bmatrix}$$

$\text{tr } A = 2\epsilon \quad \det A = 1$

$$\lambda^2 - 2\epsilon\lambda + 1 = 0 \Rightarrow \lambda = \epsilon \pm \sqrt{\epsilon^2 - 1}$$

① $\varepsilon < 1 \Rightarrow$ foco repulsivo. exemplo: $\varepsilon = 0.17$

② $\varepsilon > 1 \Rightarrow$ nó repulsivo. exemplo: $\varepsilon = 1.7$

③ $\varepsilon = 1 \Rightarrow \lambda_1 = \lambda_2 = \varepsilon \Rightarrow$ nó impróprio repulsivo

Exemplo 11.1. $\dot{x} = -y + x(1 - 2x^2 - 3y^2)$, $\dot{y} = x + y(1 - 2x^2 - 3y^2)$

Sistema não linear com único ponto de equilíbrio: $x=0, y=0$

O retrato de fase, na região $-100 \leq x \leq 100$, $-100 \leq y \leq 100$ mostra retas que se aproximam da origem.

Mas o ponto de equilíbrio na origem é de facto foco repulsivo, como mostra o retrato de fase na vizinhança da origem, $-0.1 \leq x \leq 0.1$, $-0.1 \leq y \leq 1$.

Tracando o retrato de fase na região $-1 \leq x \leq 1$, $-1 \leq y \leq 1$, observa-se um ciclo limite. As "retas" começando em (x, y) muito maiores que 1, curvam-se aproximando-se do ciclo limite, e as espirais que saem da origem aproximam-se também desse ciclo.

O ciclo limite é atrativo.